

卫星云图在短时降水预报中的应用

刘正本 赵守春 孙献革

(安徽淮南气象台,232007)

提 要

把卫星云图分析同数值预报产品及常规资料相结合,给出了淮南市短时降水预报指标,以提高卫星云图在短时预报中的可用性。

关键词: 云图 数值产品 短时预报

引 言

近年来,随着卫星云图接收设备在基层台站的逐渐普及,卫星云图成为地市台开展短时天气预报的重要工具。本文利用每小时一次的红外和可见光云图,结合数值天气分析和预报产品及常规资料,在制作0~12小时的短时预报方面做了一些详细分析和有益的探索。

1 天气尺度云系的外推

利用外推法预报天气系统的移动是天气分析和预报最常用的方法,由于天气系统在移动过程中不断发生变化,常使系统的外推发生较大误差。而卫星云图具有极好的时空连续性,且资料实时性较好,可以观测到天气系统在天气图间隔之间出现的迅速发展和变化,比用天气图外推更接近预报时段。

比较08时天气图上系统的位置和8时30分云图上云系的位置,再对照16时30分云图上云系的位置,就可以计算出系统移动的平均速度(纬距/小时),并以此推断系统未来12小时的影响及强度。

通过统计分析16时30分云图上云系的位置同本站夜间天气的关系发现,不同季节、不同的影响系统对应着不同的短时预报关键区。例如,沿淮地区4~6月主要受西风带系统影响,低槽、冷锋云系多出现在本站西北部关键区,低涡、切变线云系多出现在本站西部、西南部关键区,因此,4~6月份0~12小时短时预报的关键区确定在淮南、开封、光化、大别山区到淮南一线范围内。

2 中尺度云团的分析

暴雨等强对流天气是天气尺度系统和中小尺度系统互相影响、共同作用的结果,而中小尺度系统往往是产生这类天气最直接的原因。因此,正确分析中尺度云团的活动是做好短时天气预报的关键。中尺度对流系统的移动与高空引导气流有一定的关系,在实际云图分析中,云团的移动和变化比较复杂,这与天气系统的发生、发展关系密切。中尺度系统与其它尺度系统之间的相互作用,目前还不十分清楚,但在一个地区,其活动往往具有一定规律。因此判断云团的移动,既要分析云图上的云型特点(边缘形状、最冷云顶位置等),又要分析当时地面、高空的大气特征,找出一些经验性预报指标,用以确定云团的移向、移速和生消变化。

3 云图资料同数值预报产品的综合分析

大尺度环流背景及物理量的分布是产生降水的基本条件,选择与预报时段相对应的数值预报产品,有助于推断云系未来的发展及变化。本文提到的物理量来自日本传真图。

3.1 500hPa 涡度 24 小时 预报 (图号: FUFE502)

分析表明,云系及其演变与500hPa涡度场预报非常一致。Funk(1982年)认为,由于500hPa涡度场代表着对流层中部的相对运动,因此既可以由云与上层气流的相关性,达到诊断目的,又可以用预报出的涡度场来预报云型的演变^[1]。实际分析表明,正涡度平流区有利于对流云系的发展,而正涡度中心

与逗点云系有着非常好的对应关系,所以逗点云系有时又称为正涡度中心云系。

3.2 700hPa 垂直速度 24 小时预报(图号: FXFE782)和 700hPa T-Td 24 小时预报(图号: FXFE572)

P-VEL(垂直速度)反映了 700hPa 上的上升气流,预报指标为:小雨: $\omega < -5$,大~暴雨: $\omega < -20$ (注:日本传真图上用的单位为 $hPa \cdot h^{-1}$,标注数值扩大了 10 倍,这与我国一般使用的单位 $10^{-3} \times hPa \cdot s^{-1}$ 在数值上有一定差距)。T-Td 不仅反映了 700hPa 上水汽的饱和程度,有时还可作为能量分析的指标,饱和区相当于高能区,T-Td 锋区相当于能量锋区。晴雨预报的指标为 6°C 线包围的区域,中雨以上为 3°C 线包围的区域。

3.4 A 指数

A 指数综合了大气层结稳定度和中低层水汽饱和两项指标,对降水指示性较好, $A > 10^{\circ}\text{C}$ 对应于中等以上降水, $A > 17^{\circ}\text{C}$ 对应于大~暴雨以上降水(A 指数由探空资料直接算得)。

4 淮南台短时降水预报指标

我们将 12 小时内的降水分 3 个等级:小~中雨($0 \sim 9.9\text{mm}$)、中~大雨($10 \sim 29.9\text{mm}$)、大~暴雨($\geq 30\text{mm}$)。

4.1 大~暴雨降水指标

08 时 850、700hPa 长江及其以南有大片强西南气流,芷江、汉口西南风速 $\geq 12m \cdot s^{-1}$ 或 850 及 700hPa 淮河以南 2 纬距内有暖切,500hPa 槽前西南气流 $\geq 20m \cdot s^{-1}$,850hPa 长沙、安庆有 $\geq 12m \cdot s^{-1}$ 的西南急流。

FXFE782 图上, $\omega < -20$ 线与 FXFE572 图上的 T-Td 准饱和线(3°C)在沿淮出现重合,本站处于正涡度平流区,A 指数 $\geq 17^{\circ}\text{C}$ 。

关键区内有白亮云图发展, -60°C 的云顶温度等值线最长轴 $> 2/3$ 纬距,有 $< -70^{\circ}\text{C}$ 的峰值温度出现,且呈多中心分布。

图 1 为 1996 年 5 月 3 日 06 时 30 分的红外云图。低涡、切变线云系位于本站西南部,关键区内有一中尺度云团,云顶温度最低

为 -63°C ,其中 -59°C 等值线包围的面积直径在 1 个纬距以上,同时天气图及物理量场指标均达到暴雨预报标准,结果 12 小时降水为 36.9mm 。

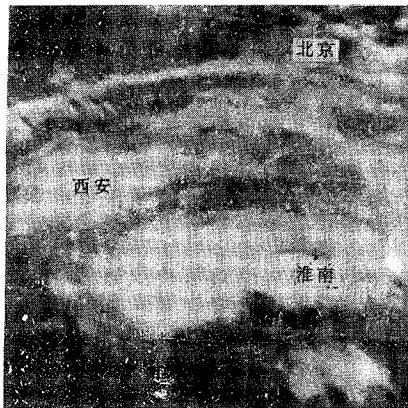


图 1 1996 年 5 月 3 日 06 时 30 分红外云图

图 2 为 1996 年 6 月 28 日 16 时 30 分的红外云图。低槽、冷锋云系位于本站西北部,关键区内小对流云团合并、发展迅速,云顶温度大部分在 -60°C 以下,最冷云顶温度为 -71°C ,结果 12 小时本站降水 38.1mm 。这是一次安徽全省性暴雨过程,其中沿淮、淮北为大暴雨,最冷云顶下游对应的阜阳、蒙城一线 24 小时雨量在 150mm 以上,其中阜南为 173mm 。

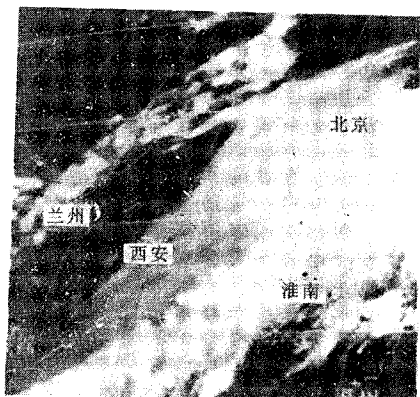


图 2 1996 年 6 月 28 日 16 时 30 分红外云图

4.2 中~大雨降水指标

08时500hPa为槽前西南气流,沿江江南至少有2站 $\geq 12m \cdot s^{-1}$,地面有冷锋配合,17时锋面未过本站或08时700hPa淮南以北5纬距内有低槽,850hPa上淮南以北1个纬距内有冷切变或淮南以南1个纬距内有暖切变;或08时700hPa本站2个纬距内有冷切变或暖切变。

日本数值预报图上,P-VEL处于 $\omega \leq -15$ 范围内, $T - T_d$ 处于 3°C 线范围内, A 指数 $\geq 12^{\circ}\text{C}$ 。

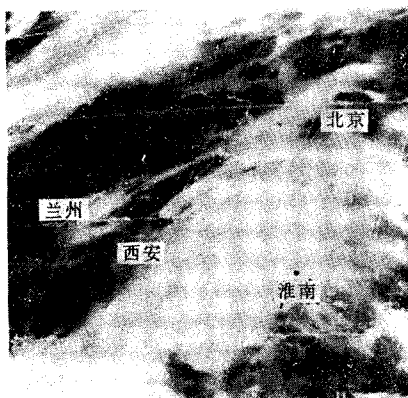


图3 1997年6月6日06时30分红外云图

关键区内, -50°C 温度等值线最长轴 $\geq 2/3$ 纬距, $<-60^{\circ}\text{C}$ 以上的云顶面积不大。图3为1997年6月6日06时30分的红外云图。关键区内为一相当于中 α 尺度的白亮云团, -60°C 等值线包围的面积直径在2~3个纬距,最冷云顶温度为 -73°C 。从云图上看,

The Application of Satellite Image to the Very Short Term Precipitation Forecasting

Liu Zhengben Zhao Shouchun Sun Xianghe

(Huainan Meteorological Station, Anhui Province 232007)

Abstract

By the method of satellite image combining with NWP products and conventional data, the very short term precipitation forecasting indices of Huainan area are given.

Key Words: satellite image NWP products very-short range forecasting

已达到暴雨预报标准,但数值预报图对暴雨预报不利,在20时500hPa涡度24小时预报图上(图略),正涡度中心减弱东移明显,涡度平流由正变负(与前12小时比较,即与08时500hPa涡度36小时预报图比较),其它物理量图也出现相应的变化,这表明已维持了两天、东移缓慢的低涡云系将减弱东移。于是预报中~大雨,结果12小时降水16.5mm。

4.3 小~中雨降水指标

天气系统强度达不到上述指标,P-VEL为负值区, $T - T_d$ 处于 6°C 线范围内, A 指数为正值。关键区内有云系发展,虽然各种亮度的云都有,但主要为 $<-50^{\circ}\text{C}$ 以下的云系,最冷云顶峰值所占比例极小。

5 结论

5.1 有经验的预报员虽然光凭云图就能大致确定所代表的天气系统,但云图本身不能揭示大气中正在进行的物理过程,需要用常规天气图资料对云图进行天气学解释,以便较准确地判断天气系统所处的位置和阶段,减少外推预报的盲目性。

5.2 云系结构同大气物理量场之间有着较好的对应关系,因此,云图资料结合数值分析的物理量产品进行综合分析,可提高云图在短时预报中的可用性。

参考文献

- 1 P. K. Rao 等著. 许健民等译. 气象卫星系统、资料及其在环境中的应用. 北京:气象出版社, 317—320.